

11. Петров Е. Г., Табачников В. Г. Экспериментальное исследование аэродинамических характеристик прямоугольных пластин различного удлинения в широком диапазоне углов атаки. — Труды ЦАГИ, 1974, вып. 1621.
12. Некрасов А. И. Теория крыла в нестационарном потоке. М., Изд. АН СССР, 1947.
13. Кудрявцева Н. А., Тимофеев И. Я. О подсасывающей силе крыльев произвольной формы в плане при неустановившемся движении. — Труды ЦАГИ, 1975, вып. 1705.

УДК 532.517.43

## ВЗАИМОДЕЙСТВИЕ С ПРЕГРАДОЙ СЛЕДА ЗА ПЛОХООБТЕКАЕМЫМ ТЕЛОМ

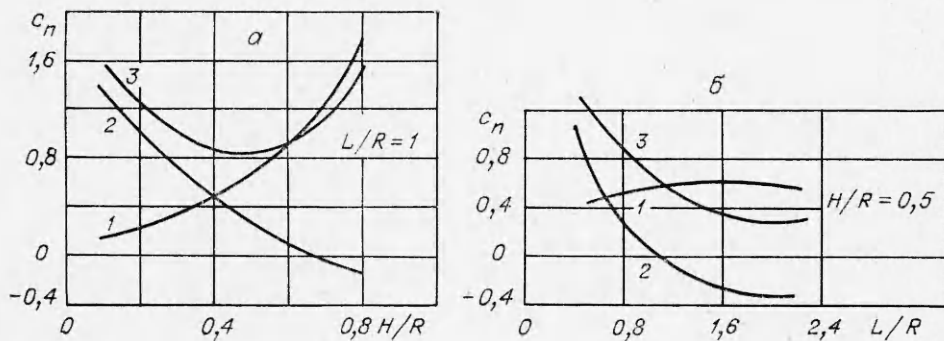
И. А. Белов

(Ленинград)

В продолжение исследований, начатых в [1], рассмотрим задачу о расчете плоского вихревого течения идеальной несжимаемой жидкости вблизи плоской преграды, установленной по нормали к потоку. Появление ненулевой завихренности во внешнем потоке вызвано формированием следа за плохообтекаемым телом, расположенным перед преградой. Решение поставленной задачи проиллюстрируем на примере течения, возникающего при симметричном обтекании равномерным потоком со скоростью  $U$  двух параллельных пластин, одна из которых имитирует тело, а другая — преграду.

В качестве расчетной модели обтекания пластин использована нестационарная вихревая модель, практическая реализация которой с помощью метода дискретных вихрей осуществлена в [2] для случая двух пластин одного размера (течение Рябушинского). В отличие от указанной работы здесь исследуется обтекание разновеликих пластин. Полуширина второй по потоку пластины обозначена  $R$ , а первой —  $H$ , причем  $H < R$ . Соотношения между размерами пластин  $H/R$  и  $L/R$ , где  $L$  — расстояние между пластинами, приняты за варьируемые параметры.

Анализ вихревых структур и полей направлений вектора скорости потока в следе за пластинами для  $H/R = 0,1-1,0$  и  $L/R = 0,4-2,2$  показывает, что вследствие срыва потока на первой пластине в пространстве между пластинами формируется развитое циркуляционное течение (вихрь), интенсивность и габариты которого определяются величинами варьируемых параметров. Максимальная скорость потока в вихре достигает величины порядка  $0,5 U$ . Как результат из-за значительного разрежения в пространстве между пластинами при определенных  $H/R$  и  $L/R$  реализуется



подсасывающее действие потока, которое в свою очередь оказывает существенное влияние на величину сопротивления пластин.

На фигурае, *a*, *b* приведены результаты расчета в момент, близкий к установлению решения ( $Ut/R \approx 10$ , где  $t$  — время), коэффициентов нормальной силы (сопротивления)  $c_{n1}$  (кривая 1),  $c_{n2}$  (кривая 2) для первой и второй пластины в паре, а также суммарного коэффициента нормальной силы пластин  $c_n = c_{n1} + c_{n2}$  (отнесены к  $\rho U^2 R/2$ , где  $\rho$  — плотность жидкости) (кривая 3). При фиксированном расстоянии между пластинами, как следует из результатов расчета, сопротивление первой пластины растет по мере увеличения отношения  $H/R$ . В то же время за счет попижения давления перед второй пластиной ее сопротивление существенно уменьшается и при некоторой величине ( $H/R = 0,65$  при  $L/R = 1$ , фигура, *a*) становится равным нулю, а затем отрицательным. Наличие эффекта тянувшей силы для второй пластины приводит к тому, что для определенной величины  $H/R$ , которую назовем оптимальной ( $H/R \approx 0,55$  при  $L/R = 1$ , фигура, *a*), суммарное сопротивление пластин для заданного  $L/R$  минимально. Аналогичным образом ведет себя зависимость  $c_n(L/R)$  для фиксированного отношения  $H/R$ . Суммарное сопротивление пластин в этом случае уменьшается по величине по мере увеличения расстояния между пластинами вплоть до оптимального отношения ( $L/R \approx 1,9$  при  $H/R = 0,5$ , фигура, *b*), характеризуемого минимумом  $c_n$ . Значительное увеличение  $L/R$  сверх оптимальной величины приводит к тому, что вместо одного вихря в пространстве между пластинами вначале образуется пара вихрей меньшего размера и интенсивности, а затем за первой пластиной формируется след, который не замыкается на поверхность второй пластины. Взаимное влияние пластин друг на друга при этом ослабевает, так что суммарное сопротивление пластин стремится по величине к сумме сопротивлений изолированных пластин, как в случае течения Рябушинского.

Сопоставление минимальных расчетных величин  $c_n$  для пластин в паре с соответствующими величинами для изолированных пластин и пластин одного размера в паре позволяет сделать несколько интересных замечаний. При  $L/R = 1$  и  $H/R = 0,55$  минимальное сопротивление пластин  $c_n \approx 0,8$  практически совпадает с величиной  $c_n = 2\pi/(\pi + 4)$  для изолированной пластины характерного размера  $R$  [3]. Сумма сопротивлений изолированных пластин заданной геометрии при этом составляет величину  $2\pi(1 + H/R)/(\pi + 4) = 1,362$ . При  $H/R = 0,5$  и  $L/R = 2$  (величины, близкие к оптимальным для пластин в паре) коэффициент сопротивления  $c_n \approx 0,35$ . Данная величина почти в 2,5 раза отличается от сопротивления изолированной пластины характерного размера  $R$  и более чем в 3 раза от суммы сопротивлений рассматриваемых изолированных пластин. Отметим, что для каждой пластины из пары пластин равного размера имеем  $c_n = 2\pi(1 + Q)/(\pi + 4)$ , где  $Q$  — коэффициент разрежения в следе или так называемый коэффициент кавитации (при  $L/R = 5$   $Q = 1,4$ ; при  $L/R \approx 85$   $Q = 0,25$  [3]). По данным расчета симметричного обтекания двух пластин одного размера [2] при  $L/R \geq 14$  величины коэффициентов нормальной силы для обеих пластин практически равны и совпадают по величине с коэффициентом  $c_n$  изолированной пластины. При уменьшении расстояния между пластинами нормальная сила на первой пластине возрастает, а на второй — падает и при  $L/R < 10$  становится отрицательной. Минимальная величина  $c_n$  в этом случае достигается примерно при  $L/R \approx 2$ . Результаты настоящего исследования также дают оптимальную по сопротивлению величину отношения  $L/R \approx 2$ , однако при значительно более низких величинах минимального сопротивления.

Поступила 1 X 1979

## ЛИТЕРАТУРА

1. Белов И. А. Циркуляционное течение идеальной жидкости вблизи стенок.— ПМТФ, 1977, № 2.
2. Белоцерковский С. М., Ништ М. И. Отрывное и безотрывное обтекание тонких крыльев идеальной жидкостью. М., Наука, 1978.
3. Биркгоф Г., Сарантанелло Э. Струи, следы и каверны. М., Мир, 1964.

УДК 629.7.024.36 : 533.6.011.34

**ЛОКАЛЬНЫЕ СИЛОВЫЕ НАГРУЗКИ  
ОТ СВЕРХЗВУКОВОЙ НЕДОРАСШИРЕННОЙ СТРУИ  
НА ПЛОСКУЮ ПОВЕРХНОСТЬ, ПАРАЛЛЕЛЬНУЮ ОСИ СТРУИ**

*С. Н. Абросимов, Г. А. Поляков*

(Ленинград)

Проведено экспериментальное исследование силового воздействия струи большой нерасчетности ( $n = 2 \cdot 10^1 - 8 \cdot 10^4$ ) на плоскую поверхность, отстоящую от оси сопла на расстояниях  $\bar{h} = h/r_a = 2 - 10$ , в области взаимодействия вдоль линии растекания при числах Рейнольдса  $Re_* = 1,7 \cdot 10^3 - 2,1 \cdot 10^4$  (число Рейнольдса определено по параметрам в критическом сечении). В качестве рабочих тел использовались аргон, воздух и пропан, истекающие из конических сопл с полууглом раствора выходной части  $\theta_a = 10^\circ$  и отношением диаметров выходного и критического сечений  $\xi = d_a/d_* = 1,0 - 4,8$ . В результате исследования предложены простые эмпирические зависимости для определения местоположения 2-го максимума силовых нагрузок и его максимальной величины. Представлен универсальный профиль давлений вдоль линии растекания.

Взаимодействие сверхзвуковой недорасширенной струи с плоской поверхностью, параллельной ее оси, сопровождается образованием сложной ударно-волновой структуры с наличием большого числа газодинамических разрывов, областей дозвукового и сверхзвукового течений. Строгое аналитическое решение указанной задачи едва ли представляется возможным. В то же время решение таких задач осуществляется по двум направлениям, использующим численные [1—4] и приближенные методы [5—9].

Погрешности этих методов могут достигать значительных величин при достаточноной трудоемкости вычислений. Вместе с тем в инженерной практике часто возникает необходимость в оперативных оценках величины силовых нагрузок на плоскую поверхность при взаимодействии с ней сверхзвуковой недорасширенной струи, параметры которой варьируются в широком диапазоне значений. В данной работе на основании результатов экспериментальных исследований получены простые зависимости для расчета силовых нагрузок вдоль линии растекания в области взаимодействия.

Экспериментальные исследования проводились в стационарном режиме на газодинамической трубе низкой плотности, оснащенной азотным криогенным насосом [10]. Остаточное давление в рабочем объеме вакуумной камеры в данных исследованиях варьировалось в диапазоне  $1 \cdot 10^{-3} - 1 \cdot 10^{-2}$  мм рт. ст. ( $1,33 \cdot 10^{-1} - 1,33$  Па) и измерялось преобразователем ПМТ-2 вакууметра ВТ-3. Источником сверхзвуковых струй являлся подогревной рециркулятор со сменными коническими соплами, имеющими угол полураствора выходной части  $\theta_a = 10^\circ$  и отношение диаметров выходного и критического сечений  $\xi = d_a/d_* = 1,0; 1,3; 2,0; 3,25; 4,8$ .

В качестве рабочих тел использовались аргон, воздух и пропан. Их массовый расход изменялся в диапазоне  $0,07 - 0,75$  г/с. Давление торможения  $p_0$  варьировалось в диапазоне  $0,25$  кг/см $^2$  ( $2,45 \cdot 10^4$  Па) —  $2,1$  кг/см $^2$  ( $2,06 \cdot 10^5$  Па), температура торможения  $T_0 = 400 - 1000$  К, при этом число Рейнольдса, определенное по параметрам в критическом сечении